

# 空洞性肺转移瘤 1 例

Cavitary Pulmonary Metastasis: One Case Report  
HE Cong, CHEN Qing-yong

何 聰<sup>1,2</sup>, 陈清勇<sup>2</sup>

(1.浙江中医药大学,浙江 杭州 310053;  
2.中国人民解放军第 117 医院,浙江 杭州 310004)

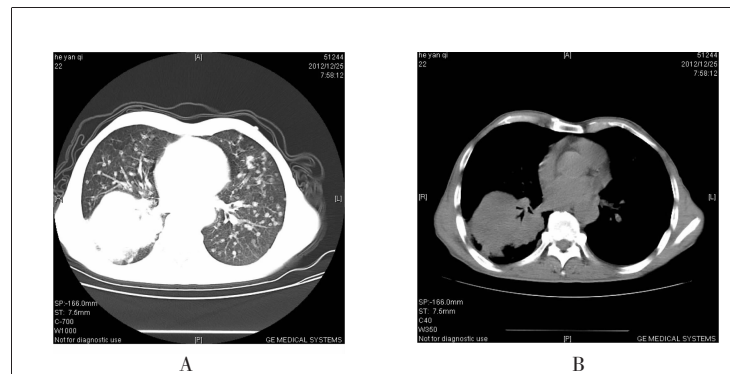
主题词:肺肿瘤;肿瘤转移;病例报告  
中图分类号:734.2 文献标识码:B  
文章编号:1671-170X(2013)09-0743-02  
doi:10.11735/j.issn.1671-170X.2013.09.B019

## 1 资 料

患者男性,66岁,2012年11月24日无明显诱因出现咳嗽,咳少量白痰,痰不易咳出,伴食欲不佳,活动后胸闷气急,于2012年12月16日到某市人民医院就诊,查胸部CT示:右肺下叶见团状块,余两肺野密布大量小结节灶。12月20日行气管镜检查示:右肺下叶开口唇形狭窄,背段开口明显狭窄,触之易出血,未见新生物。黏膜充血,粗糙,呈浸润样改变,该处刷片,病理活检示:找到可疑癌细胞。查肿瘤标志物示:铁蛋白浓度499ng/ml,鳞状细胞癌相关抗原2.3ng/ml,糖类抗原125 152.6U/ml,糖类抗原153 58.9U/ml,糖类抗原724 22.5IU/ml,细胞角蛋白19片段39.433ng/ml,神经元特异性烯醇化酶10.027ng/ml,建议转来我院就诊。2012年12月24日入住我院呼吸科,入院查体:双肺呼吸音粗,右下肺呼吸音低,未闻及干湿性啰音,未闻及胸膜摩擦音;血常规:白细胞11.46×10<sup>9</sup>/L、中性粒细胞比例84.5%、血红蛋白98.0g/L,超敏C反应蛋白46.3mg/L,血凝全套:部分凝血酶原时间40.20s、纤维蛋白酶原4.668g/L、血浆D-二聚体2.20mg/L,胸部CT(Figure 1):右肺下叶见团片状软组织密度影,最大截面大小约7.0cm×10.2cm,内见少许空泡影,右下肺可见支气管闭塞受累,边界不规则,两肺野可见多发小结节影,结节内部可见小空洞形成。肺门结构清晰,纵隔内见多发肿大淋巴结影,主支气管及各叶、段支气管开口处未见明显狭窄。右侧胸腔内可见少量积液影。大、小便常规、肝肾功能、电解质、乙肝三系、心电图、腹部B超无明显异常。入科后予以乳酸环丙沙星注射液(悉复欣)400mg静滴

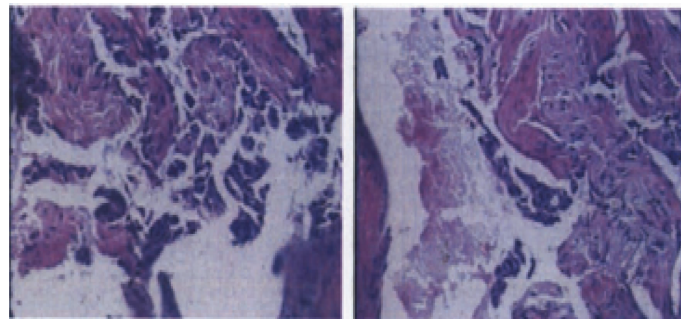
通讯作者:陈清勇,科主任,硕士生导师,博士;中国人民解放军117医院呼吸内科,浙江省杭州市江干区机场路40号(310004);E-mail:cqy117@163.com  
收稿日期:2013-03-04;修回日期:2013-04-25

2次/d 抗感染;盐酸氨溴索注射液30mg静滴2次/d化痰;注射用多索茶碱0.2g静滴2次/d解痉等对症治疗,上述症状明显好转。气管镜检查:右下支气管内可见较多白色泡沫样分泌物,黏膜粗糙,水肿充血明显,管腔轻度狭窄,右下背段开口见血凝块,其余肺叶及段、亚支气管未见明显异常,并于右下支气管狭窄处取病理活检(Figure 2);低分化腺癌;刷片:找到癌细胞。诊断:右下肺腺癌伴肺内多发空洞性肺转移瘤。



Inferior lobe of right lung shows flaky soft tissue density, with the maximum cross-sectional size about 7.0cm×10.2cm, with little air bubbles, right lower lung with bronchiolitis obliterans, lungs in Figure 1A show multiple small nodules with small cavities inside.

Figure 1 CT images



Cancer cell atypia is not obvious, partially in form of tubular glands, infiltrative growth, consider to be poorly differentiated adenocarcinoma.

Figure 2 Pathologic images

## 2 讨 论

肺是恶性肿瘤最常见的转移部位之一,尸检发现因恶性肿瘤死亡的患者中约30%有肺转移,约15%~25%只有肺转移而无身体其他部位转移<sup>[1]</sup>。

### 2.1 临床表现

由于肺转移瘤常常发生在肺外周实质内,因而约2/3患者无症状,多在体检或治疗原发肿瘤的随访中被发现。初期多较轻微,随着范围扩大逐渐加重,可有咳嗽、咳痰、咯血、胸痛、胸闷气急、发热,少数可出现自发性气胸,极少数患者可有肺性肥大性股关节病。此外,部分恶性肿瘤转移可合并其他脏器的转移,如脑、骨、肝等,因此可出现头痛、眩晕、呕吐、骨痛、肝大、黄疸等症状。本病例患者咳嗽,咳少量白痰,活动后有胸闷气急症状,并反复发热,符合肺转移瘤临床表现。

### 2.2 CT 表现

以多发多见,多为圆形或类圆形、无分叶和毛刺,基本保留了转移瘤的形态特点。壁薄、光滑均匀,壁厚在5~8mm左右。也可以表现为厚薄不一,肺门侧的壁较厚,外侧的壁薄;也可出现20mm左右的厚壁空洞。空洞性病变倾向于分布在胸膜下或叶间裂下,越靠近胸膜,空洞越小。直径较大的空洞多分布在肺的中带。空洞性转移灶均与肺内多发实质性瘤灶共存,而后者往往远多于前者。当病情好转或恶化时,空洞性转移灶与实质性瘤灶同时缩小或增大,说明两者呈同步变化。同样的洞腔变化既可见于病情好转时,也可见于病情恶化时,特别是同一种病例可同时出现两种相反的洞腔变化,说明洞腔变化具有非恒定性。一般认为壁薄而均匀者多为良性空洞,而癌性空洞的壁多较厚或厚薄不均。Woodring等<sup>[2]</sup>认为洞壁厚度4mm以下者92%为良性,15mm以上者95%为恶性,4~15mm者良恶性各半。蒋瑾等<sup>[3]</sup>发现83%的原发空洞型肺癌的壁厚度超过15mm。以上表述的空洞形态不同于肺良性空洞及原发癌性空洞,具有其独特性。根据肿瘤的生物学特性,空洞性肺转移瘤的CT表现应与其病理类型有关,于小平等<sup>[4]</sup>发现:鳞癌空洞中壁厚度均匀者较多,腺癌与此相反,这一差异具有显著性,这可能是由于鳞癌中壁薄而均匀的囊样及小环形空洞较多。囊样空洞仅见于鳞癌,不见于腺癌,而且在鳞癌中所占比例最高,说明囊样空洞是鳞癌区别于腺癌的独特类型。本例空洞性肺转移瘤的形成机制可能是腺癌黏液样退变后黏液排空,以及低分化肿瘤生长速度快,所需血供也相对较多等多种机制共同作用的结果。

### 2.3 组织病理学特点

几乎所有类型的肺转移瘤均可形成空洞,但文献报道以鳞癌与腺癌最多,常见的组织学来源有鳞状细胞癌、黑色素瘤、肉瘤、胚细胞瘤和移行细胞癌等。男性多为头颈部恶性肿瘤,女性多为泌尿生殖道肿瘤。腺癌发生空洞型肺转移多来自消化系统的恶性肿瘤,如胰腺、结肠和胆囊等<sup>[5]</sup>,以往认为鳞癌最易发生空洞性转移,最近研究认为腺癌与鳞癌发生空洞性转移的概率

差异几乎无显著性<sup>[6]</sup>,本例患者为腺癌,符合空洞性肺转移瘤的组织病理学特点。

### 2.4 诊断依据及鉴别诊断

空洞性肺转移瘤患者的临床症状较为隐匿,多在原发肿瘤症状出现后的检查或在体检中发现,其诊断主要依靠患者的病史、体征、影像学检查、肿瘤标志物、气管镜检查等。对任何有原发肿瘤病史的肺野孤立性病灶均应引起足够重视,并扩大检查范围,如增加脑CT、腹部CT或B超、磁共振成像(MRI)、正电子发射计算机断层成像(PET)等检查。气管镜检查对有气管支气管转移或侵犯的患者意义重大,可获取阳性病理结果,但最终确诊还有赖于组织病理活检,主要方法除上述的气管镜活检外,还有经皮穿刺活检、胸腔镜、痰细胞学检查、开胸检查等。

空洞性肺转移瘤需要与空洞为主型继发性肺结核、继发性化脓性肺炎、肺真菌感染、嗜酸性肉芽肿等作鉴别诊断。根据患者病史、症状、体征及影像学、气管镜、肿瘤标志物等相关实验室检查可相鉴别,必要时进行病理活检。

### 2.5 治疗及预后

空洞性肺转移瘤治疗上需要手术、放化疗、靶向药物及免疫治疗等多学科结合,预后取决于原发肿瘤、转移情况、放化疗敏感程度及全身状况等多因素。本例患者目前病情稳定,复查胸部CT无明显进展。

### 参考文献:

- [1] Martini N, McCormack PM. Evolution of the surgical management of pulmonary metastases [J]. Chest Surg Clin N Am, 1998, 8(1):13~27.
- [2] Woodring JH, Fried AM, Chuang VP. Solitary cavities of the lung: diagnostic implications of cavity wall thickness [J]. AJR, 1980, 135(6):1269~1271.
- [3] Jiang J, Zhou H, Xu G, et al. The relationship between appearances of cancerous cavity and lung cancer types and grading[J]. Chinese Journal of Medical Imaging, 2000, 8(2): 95~97.[蒋瑾,周翰,徐刚.肺癌类型及分化程度与癌性空洞表现的关系[J].中国医学影像学杂志,2000,8(2):95~97.]
- [4] Xiong YS, Yu XP, Tang L. Comparative CT study on cavitary pulmonary metastases from squamous cell carcinoma and adenocarcinoma [J]. Journal of Diagnostic Imaging & Interventional Radiology, 2007, 16(4):158~161.[熊永胜,于小平,唐黎.鳞癌与腺癌源性空洞型肺转移瘤的CT征象分析[J].影像诊断与介入放射学,2007,16(4):158~161.]
- [5] Guo YM, Du HW, Tang AQ, et al. Pulmonary metastasis of adenocarcinoma: CT and HRCT diagnosis[J]. Journal of Practical Radiology, 1998, 14(1):8~10. [郭佑民,杜红文,唐安琪,等.腺癌肺转移的CT和HRCT诊断[J].实用放射学杂志,1998,14(1):8~10.]
- [6] Seo JU, Im JG, Goo JM, et al. Atypical pulmonary metastases:spectrum of radiologic finding [J]. Radio Graphics, 2001, 21(2):403~417.